

## مقایسه تثبیت پناسیم و آمونیوم توسط رس‌های جداسازی شده از خاک با سیستم‌های مختلف کشاورزی

معصومه پیشگیر<sup>۱</sup> و سپرس جعفری<sup>۱</sup>

(تاریخ دریافت: ۱۳۹۲/۲/۳۰؛ تاریخ پذیرش: ۱۳۹۲/۱/۲۰)

### چکیده

به منظور بررسی مقایسه تثبیت پناسیم و آمونیوم توسط رس‌های جداسازی شده از خاک با سیستم‌های مختلف کشاورزی، از دو منطقه شمال و جنوب استان خوزستان در شهرستان‌های شوشتر و آبادان نمونه‌های خاک از کشت‌های نیشکر، تناوبی، نخلستان و بایر در عمق‌های صفر تا ۲۰-۳۰ سانتی‌متری نمونه‌برداری شد. برای مقایسه تثبیت پناسیم و آمونیوم به رس‌های جداسازی شده از ۳۰ نمونه خاک، همزمان غلظت‌های کلرید پناسیم و کلرید آمونیوم (صفر، ۵، ۱۰، ۲۰، ۴۰، ۶۰، ۸۰، ۱۰۰ میلی‌گرم بر کیلوگرم) اضافه گردید. نمونه‌ها به مدت ۲۴ ساعت در شرایط آزمایشگاهی (دماهی ۲۰ درجه سلسیوس بدون تکان دادن) نگهداری شد. سپس با استات مینیزیم عصاره‌گیری و مقادیر پناسیم و آمونیوم قابل جذب تعیین و سپس مقدار پناسیم و آمونیوم تثبیت شده از تفاوت این مقادیر محاسبه گردید. نتایج مطالعه کانی‌شناسی با روش پراش پرتو ایکس وجود کانی‌های رسی کانولینیت، پالی‌گورسکایت، کلرایت، اسمکتیت و کوارتز را در مناطق مورد مطالعه نشان داد. مقایسه میانگین میزان تثبیت پناسیم و آمونیوم با آزمون دانکن نشان داد که با افزایش غلظت پناسیم و آمونیوم، مقدار و درصد تثبیت افزایش یافته است. بیشترین تثبیت پناسیم و آمونیوم در لایه سطحی رس‌های خاک اراضی تحت کشت نیشکر شوشتر و برای رس‌های آبادان در نخلستان بود. مقایسه تثبیت پناسیم و آمونیوم نشان داد که در هر دو کاتیون، با افزایش غلظت میزان تثبیت افزایش یافته است ولی افزایش غلظت یکی باعث کاهش میزان تثبیت دیگری و بر عکس شده است. همچنین میزان تثبیت آمونیوم در این مناطق توسط این رس‌ها بیشتر از پناسیم بوده است که این امر ممکن است به اثر کانی‌های رسی اسمکتیت و تثبیت بیشتر آمونیوم توسط این کانی نسبت به کانی‌های رسی دیگر باشد. نتایج این تحقیق می‌تواند برای مدیریت کودهای پناسیمی و آمونیومدار در اراضی زراعی مورد استفاده قرار گیرد.

واژه‌های کلیدی: کانی‌های رسی، تثبیت، پناسیم، آمونیوم و کشت

۱. گروه خاک‌شناسی، دانشگاه کشاورزی و منابع طبیعی رامین، خوزستان  
\* مسئول مکاتبات، پست الکترونیکی: pishgir88@yahoo.com

## مقدمه

همکاران (۱۳) در بررسی ثبت آمونیوم توسط دو گروه بزرگ خاک‌های ترکیه با کانی‌های رسی مختلف در طی فصل رشد نشان دادند با افزایش همزمان پتانسیم و آمونیوم به خاک‌ها، مقدار آمونیوم ثبت شده بیشتر از پتانسیم ثبت شده بود. آنان گزارش نمودند کانی‌های رسی غالب منطقه رس‌های اسمنتیت بوده که ظرفیت ثبت آمونیوم بالاتری نسبت به پتانسیم، برخلاف کانی‌های رسی دیگر دارا می‌باشد. توفیقی و عباسیان (۲۰) در بررسی سبتيک ثبت یون‌های پتانسیم و آمونیوم در اجزاء رس و سلیل خاک‌ها نشان دادند سرعت ثبت یون‌های پتانسیم و آمونیوم در زمان‌های اولیه بالاست و سریعاً افزایش زمان، مقدار ثبت کاهش می‌یابد. همچنین مقدار ثبت پتانسیم در تمونه‌های سلیل و رس بیش از مقدار آمونیوم است. آنان همچنین نشان دادند که بخش سلیل خاک‌ها نیز مقدار قابل ملاحظه‌ای از پتانسیم و برخی اوقات آمونیوم را ثبت کرده است به علت این که میکا یا ایلایت و ورمی‌کولیت در این بخش از خاک حضور دارد. باجوا (۶) در بررسی مقایسه ثبت پتانسیم و آمونیوم به وسیله خاک‌های مزارع برنج و ارتباط آنها با ترکیب کانی‌های رسی نشان دادند که رس موتموریلوئیت بیشترین ثبت کننده آمونیوم و کمترین ثبت کننده پتانسیم در این خاک‌ها بوده است. رس‌های ورمی‌کولیت و بیدلایت هر دو یون‌های پتانسیم و آمونیوم را به شدت ثبت می‌کنند. نظر به این که افزایش آمونیوم بر جذب و رهاسازی پتانسیم اثر گذار است و بر عکس و لذا کمی سازی این روند در مدیریت مصرف کودهای حاوی این ترکیبات کمک مؤثر به مدیریت کودهای حاوی این ترکیبات به خاک خواهد داشت. در این میان استفاده از خاک‌های مختلفی که از سیستم‌های مختلف کشاورزی انتخاب شده‌اند، می‌تواند برای تعیین اثرات مقادیر و نوع کانی‌های رسی بر این روند مورد استفاده قرار گیرد. بنابراین در این پژوهش رقابت ثبت پتانسیم و آمونیوم در سیستم‌های مختلف کشته بررسی خواهد شد.

ثبت پتانسیم توسط رس‌های خاک چالشی است که بر مدیریت مصرف کودهای پتانسیمی اثر گذار است. ثبت پتانسیم شامل به تله افتادن یون‌های پتانسیم در فضای بین لایه‌ای کانی‌های رسی ۱:۱ است. از آنجا که شاعع یون آمونیوم حدوداً برابر با یون پتانسیم است با وضعیت مشابه در میان لایه‌های سیلیکاتی ۲:۱ ثبت می‌گردد (۱۷). قرار گرفتن یون‌های آمونیوم در بین لایه کانی‌های رسی موجب می‌گردد تا ظرفیت ثبت پتانسیم در بین لایه‌ها کاهش یافته و قابلیت جذب آن برای گیاه فرونی یابد. در صورتی که یون‌های پتانسیم بیش از یون‌های آمونیوم در میان لایه‌ها قرار گیرند، ظرفیت ثبت آمونیوم کاهش یافته و بر قابلیت جذب آن افزوده می‌گردد. این موضوع از نقطه نظر اقتصادی و مدیریت مصرف کود اهمیت کاربردی فراوانی داشته و به هنگام محاسبه مقدار کودهای نیتروژن و پتانسیم باید مرور توجه کامل قرار گیرد (۲۹). عوامل زیادی بر ثبت پتانسیم و آمونیوم تاثیر می‌گذارند که عبارتند از: نوع و ترکیب کانی‌های رسی، PH خاک، افزودن کودهای پتانسیمی و آمونیومی، تر و خشک شدن و یخ بستن و ذوب شدن خاک (۲۸). از بین این عوامل، نوع و ترکیب کانی‌های رسی از مهمترین فاکتورهای مؤثر در ثبت و آزادسازی پتانسیم و آمونیوم محسوب می‌شوند (۳۳). پیچ و همکاران (۲۷) با بررسی ثبت پتانسیم و آمونیوم توسط خاک‌های ورمی‌کولیتی کالیفرنیا نتیجه گرفتند که تحت شرایط رطوبتی، مقدار ثبت پتانسیم و آمونیوم برابر بوده و تحت شرایط هوا خشک، مقدار پتانسیم ثبت شده بیشتر از مقدار آمونیوم ثبت شده است. کلیچ و همکاران (۱۹) در بررسی اثر پتانسیم بر ثبت آمونیوم در برخی از گروه‌های بزرگ خاک‌های ترکیه نشان دادند که اثر پتانسیم بر ثبت آمونیوم تنها به مقدار پتانسیم اضافه شده بستگی ندارد بلکه زمان کاربرد پتانسیم نیز بر ثبت اثر گذار می‌باشد. نتایج نشان داد زمانی که پتانسیم قبل از آمونیوم به خاک اضافه شود ثبت آمونیوم کاهش یافته و زمانی که پتانسیم بعد از آمونیوم به خاک اضافه شود ثبت آمونیوم افزایش می‌یابد. دوراک و

به ترتیب نمک‌های محلول، کربنات‌ها، ماده آلی و اکسیدهای آزاد آهن حذف شده (۲۲) و سپس ذرات رس به روش تعلیق، جداسازی شد (۱۱). پس از جداسازی ذرات رس، تیمارهای اشبع با میزیم، مینیزیم با اتیلن گلیکول، پتاسیم و پتاسیم همراه ۵۵ درجه سلسیوس تهیه شدند. سپس دیفرانکتوگرام‌ها به کمک دستگاه پرتو ایکس (XRD) مدل ADVANCE D8 با تابش Cuk $\alpha$  تهیه شد. تفسیر نتایج حاصل با استفاده از روش چرم و همکاران (۹) صورت گرفت. برآورد نیمه کمی مقدار کانی‌های رسی با استفاده از پیک‌های مرتبه اول کانی‌ها صورت گرفت (۱۰).

### بررسی رقابت ثبت پتاسیم و آمونیوم

به منظور بررسی رقابت ثبت پتاسیم و آمونیوم، به نیم گرم از نمونه‌های رس خالص شده از خاک‌های مورد مطالعه در دو تکرار به طور هم‌زمان ۵ میلی لیتر از محلول‌های کلرید پتاسیم و کلرید آمونیوم با غلطت‌های (۵، ۱۰۰، ۵۰، ۲۰۰، ۴۰۰، ۶۰۰ و ۱۰۰۰ میلی گرم بر کیلوگرم) اضافه گردید (۱۹). این غلطت‌ها مطابق با جدول ۱ به رس‌های خاک اضافه شده و برای جلوگیری از فعالیت میکروارگانیسم‌ها و حذف روند تبدیل آمونیوم به نیترات، چند قطره دی‌سیانید آمید اضافه شد (۱۶). سپس به مدت ۲۴ ساعت در شرایط آزمایشگاهی (دمای ۲۰ درجه سلسیوس بدون تکان دادن)، این محلول‌ها برای به تعادل رسیدن به حال خود رس اضافه شدند. پتاسیم و آمونیوم قابل استخراج در نمونه‌های رس، با استفاده از ۳۰ میلی لیتر استات مینیزیم نیم مولار پس از سانتریفوژ کردن و عصاره‌گیری، عصاره به حجم ۵۰ میلی لیتر رسانیده شد. سپس پتاسیم قابل جذب با استفاده از فلیم فتومر و آمونیوم قابل جذب نیز با استفاده از روش میکرودیفیوژن (۲۴) تعیین گردید. در نهایت بعد از محاسبه مقدار پتاسیم و آمونیوم ثبت شده طبق فرمول زیر، محاسبه مقایسه میانگین‌ها و تجزیه تحلیل‌های آماری و رسم نمودارها به ترتیب بوسیله نرم‌افزارهای SPSS و Excel در قالب مطالعه پیمایش میدانی (۴) انجام گرفت.

### مواد و روش‌ها

در این تحقیق سیستم‌های مختلف کشاورزی شامل اراضی کشت و صنعت کارون در شمال و اراضی بخشی از آبادان در جنوب استان خوزستان مطالعه شد. این مناطق شامل اراضی بایر (بکر) در مجاور کشت و صنعت کارون (شوستر) و مزارع تحت کشت نیشکر در کشت و صنعت کارون بود (مزرعه ۴۴۷). نمونه خاک مربوط به کشت محصولات تناوبی نیز از اراضی مجاور این کشت و صنعت که در آن کشت‌های متداولی مثل گندم، چو و صیفی‌جات طی بیش از صد سال کشت صورت می‌گیرد، نمونه‌برداری شد. از آبادان در حد فاصل شهر آبادان تا شهرستان اروندکنار، نمونه خاک‌های مربوط به نخلستان (کشت خرما) و از اراضی بایر مجاور آنها نمونه‌برداری صورت گرفت. از مناطق مورد مطالعه از عمق‌های ۰-۳۰-۶۰ سانتی‌متری، تعداد ۱۰ نمونه خاک با سه تکرار (جمعاً ۳۰ نمونه خاک) جمع‌آوری گردید. نمونه‌های جمع‌آوری شده، پس از هوا خشک شدن، آسیاب شده و از الک ۲ میلی‌متری عبور داده شدند. سپس اندازه‌گیری‌های زیر روی نمونه‌های مربوط به هر منطقه انجام شد:

بافت خاک به روش پی‌پت پس از حذف ماده آلی و کربنات کلسیم (۱۵). PH خاک در نمونه‌های گل اشبع و قابلیت هدایت الکتریکی در عصاره گل اشبع (۳۱)، کربن آلی به روش اکسیداسیون بدون حرارت دادن (۳۲)، کربنات کلسیم معادل به روش خنثی‌سازی با اسید (۲۵)، ظرفیت تبادل کاتیونی به روش استات سدیم یک مولار با پهاش ۸/۲ (۸)، نیتروزن کل به روش کجلدال و هضم در اسید (۷) اندازه‌گیری شد. پتاسیم محلول در عصاره‌های گل اشبع، پتاسیم تبادلی به روش عصاره‌گیری به روش استات آمونیوم یک مولار در PH خنثی (۲۱) و پتاسیم غیرتبادلی (ثبت شده) به کمک عصاره‌گیری با اسید نیتریک یک مولار جوشان (۵) و قرائت با دستگاه نورسنج شعله‌ای انجام شد.

برای شناسایی کانی‌های رسی به روش پراش پرتو ایکس از روش جکسون (۱۸) و کپتیریک و هوپ (۲۰) استفاده شد. ابتدا

جدول ۱. مقادیر غلظت‌های اضافه شده آمونیوم و پتاسیم (میلی‌گرم بر کیلوگرم) به رس‌های خاک

تیمار	شاهد	تیمار ۱	تیمار ۲	تیمار ۳	تیمار ۴	تیمار ۵	تیمار ۶	تیمار ۷	تیمار ۸
پتاسیم	۰	۰	۰	۱۰۰	۵۰	۲۰۰	۴۰۰	۶۰۰	۸۰۰
آمونیوم	۰	۰	۱۰۰۰	۶۰۰	۴۰۰	۲۰۰	۵۰	۸۰۰	۱۰۰۰

نوع کشت و غلظت‌های اعمال شده تفاوت آماری معنی‌داری در سطح احتمال یک درصد وجود دارد (جدول ۴). نتایج حاصل از ثبت پتاسیم توسط رس‌های جداسازی شده از نمونه خاک‌های شوستر، توسط غلظت‌های مختلف به همراه میانگین‌های مربوطه نیز در شکل‌های ۱، ۲ و ۳ نشان داده شده است.

این نتایج نشان می‌دهد با افزایش غلظت پتاسیم، ثبت پتاسیم نیز بیشتر می‌شود. حرکت پتاسیم در خاک تابع فرآیند انتشار است که با افزایش غلظت پتاسیم محلول برای ایجاد تعادل بخشی از پتاسیم ثبت می‌شود. چنین نتایجی توسط جعفری و باقرنژاد (۲) و اوستان و همکاران (۲۶) نیز گزارش شده است. نکته حائز اهمیت در این خاک‌ها ظرفیت بالای ثبت پتاسیم در کلیه خاک‌های مورد مطالعه است که تا غلظت زیادی از پتاسیم افزوده شده ادامه یافته است (جدول ۱). هم‌چنین نتایج نشان داد در لایه سطحی میزان ثبت پتاسیم در شوستر در اراضی با کشت تناوبی بیشتر از نیشکر و بایر بوده است (شکل‌های ۱، ۲ و ۳). کشت مستمر گیاهان و آبشویی ناشی از آبیاری به مدت بیش از صدها سال در اراضی تحت کشت تناوبی بدون مصرف هیچ گونه کود پتاسیمی باعث تخلیه بیشتر پتاسیم از محل ذخیره آن از بین لایه‌های کانی و ورود آن به محلول خاک شده است. تخلیه پتاسیم از خاک و عدم جایگزینی آن با کودهایی، باعث شده که پتاسیم تخلیه شده از فضای بین لایه‌ای کانی‌های رسی جایگزین شود (۲۲). این عامل تحت عنوان تحول ساده توسط محققین مختلفی شرح داده شده است (۹ و ۱۴). این عامل احتمالاً سبب ایجاد پتاسیل بیشتر برای ثبت پتاسیم شده است. در اثر این پدیده، پتاسیل رس‌ها برای ثبت پتاسیم اضافه شده در مکان‌های بین لایه‌ای و

مقدار عصاره‌گیری شده از تیمار شاهد) = مقدار ثبت شده  
مقدار عصاره‌گیری شده از تیمار نمونه - (مقدار اضافه شده +

## نتایج و بحث

نتایج برخی از تجزیه‌های فیزیکی و شیمیایی خاک‌های مورد مطالعه در جدول ۲ آورده شده‌اند. بافت خاک‌ها عموماً ریز بافت و غالباً به کلاس‌های رسی و رس سیلتی تعلق دارند. خاک‌ها آهکی و با pH قلایی هستند. مواد آلی خاک‌ها کم و خاک‌های زیر کشت، قابلیت هدایت الکتریکی کمتری نسبت به خاک‌های کشت نشده دارند.

پتاسیم محلول، تبادلی و غیر تبادلی خاک‌های کشت شده کمتر از خاک‌های کشت نشده است. این امر تا حدودی به مصرف پتاسیم توسط گیاهان زراعی مربوط می‌شود. از طرفی در این اراضی تاکنون گزارش‌های اندکی از مصرف کودهای پتاسیمی ارائه شده است. نتایج تحقیقات زیادی طی سالیان اخیر نشان می‌دهد که گیاهان به مصرف کودهای پتاسیمی واکنش اندکی نشان داده‌اند (۲).

کانی‌های عمده شناسایی شده در خاک‌های مورد مطالعه شامل کانولینیت، ایلیت، پالی‌گورسکایت، اسملکتیت، کلریت و کوارنز می‌باشد. با وجودی که در مناطق مورد مطالعه، توزع کانی‌ها باهم تفاوت چندانی نداشتند ولی مقادیر نسبی این کانی‌ها در اعماق و سیستم‌های مختلف تا حدودی باهم متفاوت بود (جدول ۳).

## رقابت ثبت پتاسیم و آمونیوم

نتایج تحلیل آماری مربوط به ثبت پتاسیم توسط رس‌های خاک نشان می‌دهد که بین مقادیر پتاسیم ثبت شده با توجه به

مقایسه ثیت پتاسیم و آمونیوم توسط روش‌های جداسازی شده ...

جدول ۱۰: میانگین خصوصیات فنریکی و شیمیایی خاک های تحت کشت پیشکر، نثاری، نخلستان و یا گز مناطق مورد مطالعه

جدول ۲. نوع کانی‌های رسی و تخمین نیمه کمی آنها (بر حسب درصد)

منطقه	نوع کشت	عمق	کلربت	پالی گورسکایت	ایلیت	کانولبیت	اسمعکبیت	کوارتز
آبادان	نخلستان	۰-۳۰	+++	++	++	++	+++	+
		۳۰-۶۰	+++	++	++	++	+++	+
	باير	۰-۳۰	++	++	++	++	++	++
		۳۰-۶۰	++	++	++	++	++	++
شوشتر	نبشکر	۰-۳۰	++	+++	++	++	++	++
		۳۰-۶۰	++	+++	++	++	+	+
	تนาویج	۰-۳۰	++	+++	+++	+	++	++
		۳۰-۶۰	++	+++	++	+	++	++
باير	باير	۰-۳۰	++	+++	++	++	++	++
		۳۰-۶۰	++	+++	+++	+	++	++

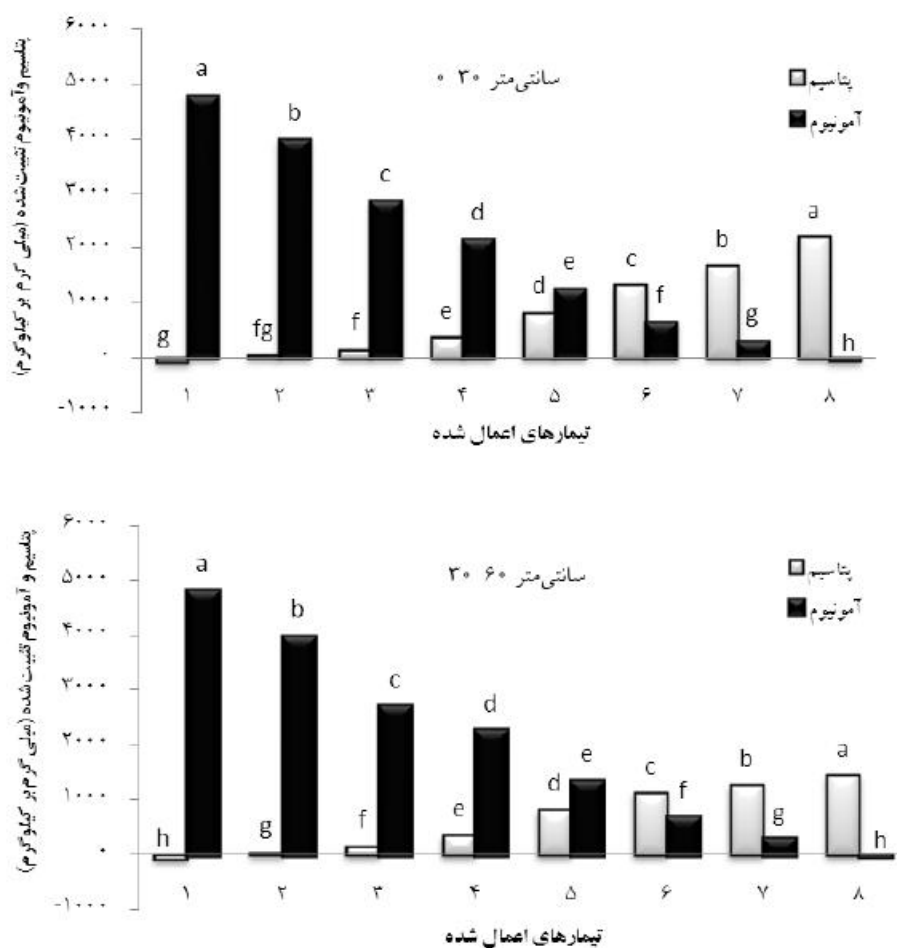
+ &lt; ۲۰ درصد، ++ ۲۰-۳۰ درصد، +++ ۳۰-۴۰ درصد

جدول ۴. تحلیل آماری مربوط به مقادیر ثبتی پناسیم و آمونیوم (مبلی گرم بر کیلوگرم) توسط رس‌ها در ارتباط با نوع کشت، عمق نمونه‌برداری و اثرات متقابل آنها در شوشتر و آبادان

منابع تغییرات	درجه آزادی	پناسیم ثبتی شده	میانگین مربعات	آمونیوم ثبتی شده
نوع کشت	۳	۱۴۲۶۴۵۹/۴**	۴۰۰۶۴۲۳/۳**	
عمق نمونه	۱	۳۰۶۴۰/۷**	۲۴۲۷۸/۵**	
تیمار	۷	۱۶۰۸/۲**	۶۱۶۱/۷**	
نوع کشت × عمق نمونه	۳	۱۷۳۶۱۱/۵**	۶۲۶۰۸/۰**	
نوع کشت × تیمار	۲۱	۲۲۹۰۲۲/۳**	۵۴۶۰۷/۷*	
عمق نمونه × تیمار	۷	۸۱۴۲/۲**	۲۶۹۰۷/۴**	
نوع کشت × عمق نمونه × تیمار	۲۱	۴۶۳۴۶/۵**	۱۳۵۰۰/۷**	
خطا	۹۶	۲۳۴۰۰/۹	۳۱۲۶۸/۱	
کل	۱۶۰			

\*, \*\* به ترتیب غیر معنی‌دار، معنی‌دار در سطح ۰/۰۵ و ۰/۰۱ ns

## مقایسه ثیبیت پتاسیم و آمونیوم توسط رس های جداسازی شده ...



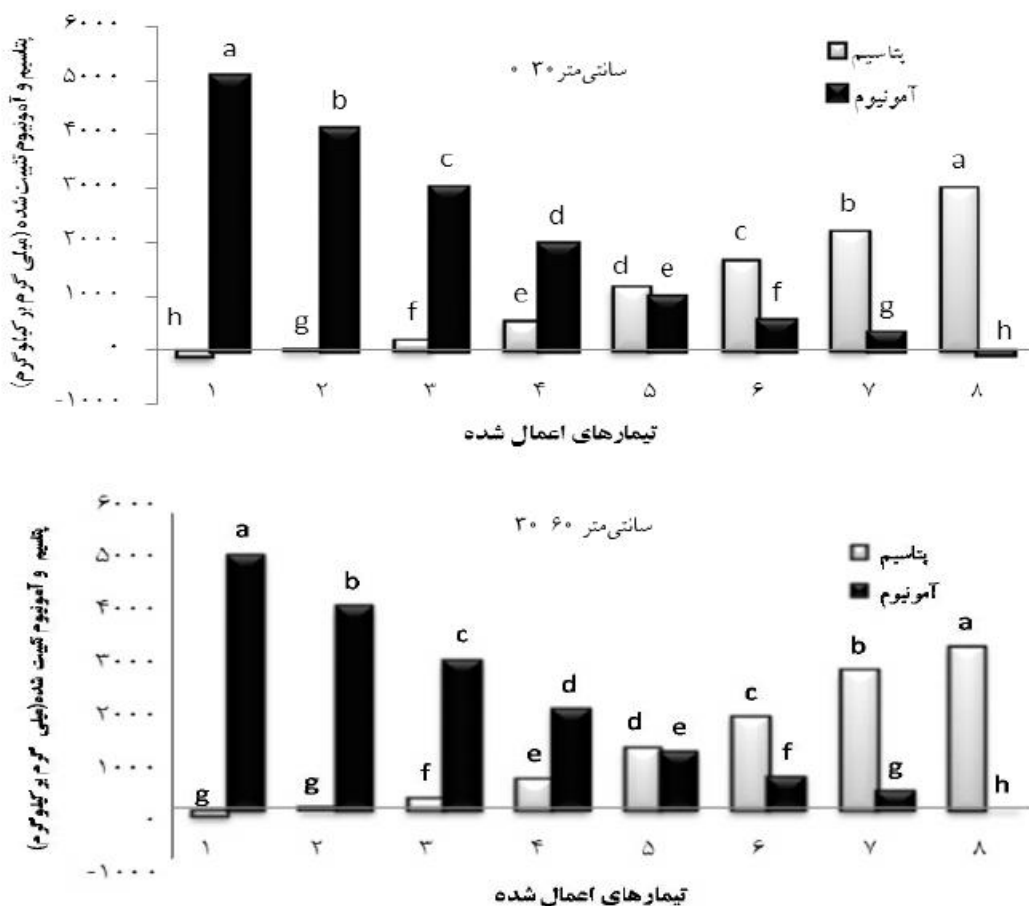
شکل ۱. میانگین پتاسیم و آمونیوم ثبیت شده در اعماق ۰-۲۰ و ۰-۶۰ سانتی متری کشت نیشکر شوستر

ثبیت پتاسیم در اراضی با پر نیز مشابه کشت تناوبی است ولی میزان ثبیت به مراتب کمتر از اراضی کشت شده است. این امر تا حدودی به مشابه ترکیب کانی های رسی موجود در دو نمونه مربوط می گردد.

همچنان که در شکل ۱ ملاحظه می شود با افزایش غلظت آمونیوم یا پتاسیم در تیمارها بر میزان ثبیت آن افزوده شده ولی با افزایش غلظت یک کاتیون و کاهش غلظت دیگری، ثبیت دیگری کاهش یافته است. با این وجود میزان ثبیت آمونیوم بیشتر از پتاسیم بوده است. این روند در رس های سطحی و عمقی تفاوت اندکی با هم دارند.

روند مشابهی نیز برای ثبیت پتاسیم و آمونیوم و همچنین رقابت این دو یون در ثبیت شدن توسط رس ها در خاک های

در نتیجه ثبیت آن توسط رس های خاک افزایش یافته است. در منطقه شوستر در اراضی تحت کشت نیشکر با این که در اثر تخلیه پتاسیم توسط گیاه نیشکر ثبیت رخ داده بود ولی میزان این ثبیت با اراضی با پر تفاوت آماری چندانی با هم نداشتند. این نتیجه بیانگر این است که در خاک کشت نشده حضور کانی های رسی اسمکتیت باعث ثبیت پتاسیم در این اراضی گردیده است. در این اراضی که از آبرفت های رسوبی رودخانه ای تشکیل شده است کانی های رسی اسمکتیت در مطالعات XRD ملاحظه شد (۱). با افزایش عمق، میزان ثبیت پتاسیم در اراضی تحت کشت تناوبی در عمق ۰-۲۰ سانتی متری کمتر از عمق ۰-۶۰ سانتی متری بوده است (افزایش ثبیت با افزایش عمق ۸/۴۵ درصد بوده است). روند



شکل ۲. میانگین پتاسیم و آمونیوم ثبت شده در اعماق ۰-۲۰ و ۲۰-۶۰ سانتی متری کشت تناوبی شوستر

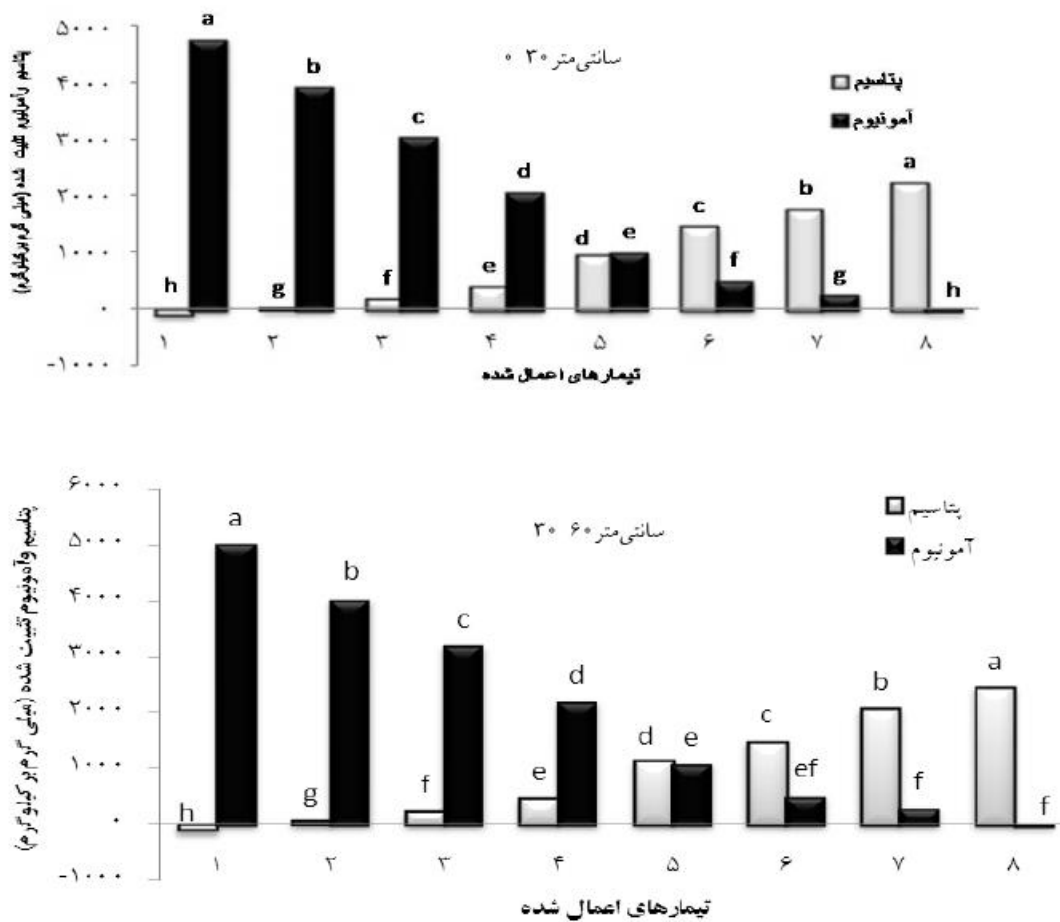
کودهای آمونیومی در زمان کشت صورت می‌گیرد، این امر می‌تواند سبب بیهوده قابلیت استفاده پتاسیم برای تأمین نیازهای گیاهی شود.

مشابه اراضی کشت و صنعت کارون در شوستر، در رس‌های خاک آبادان نیز با افزایش غلظت پتاسیم مقدار ثبیت افزایش یافته است (شکل‌های ۵ و ۴). در این اراضی نیز با افزایش غلظت، روند ثبیت پتاسیم افزایش یافته است بطوریکه این ثبیت در تیمار ۱ کمترین و در تیمار ۸ بیشترین مقدار بوده است. اراضی تحت کشت نخلستان بیشترین ثبیت و اراضی با پر کمترین میزان ثبیت را در آبادان نشان دادند که احتمالاً در اثر تخلیه پتاسیم از مکان‌های تبادلی در اثر کشت نخل و سایر گیاهان کشت شده بین آن‌ها به مدت طولانی بدون دریافت کودهای پتاسیمی می‌باشد. همچنین نتایج نشان داد که مقدار

تحت کشت تناوبی در منطقه شوستر ملاحظه شد (شکل ۲). در این نمونه‌ها نیز قابلیت ثبیت آمونیوم به مرتب بیشتر از پتاسیم باشد که در لایه سطحی و عمقی با روند مشابهی ملاحظه شد.

در اراضی با پر نیز مقایسه میانگین‌ها با آزمون دانکن تفاوت معنی‌داری بین تیمارهای اعمال شده نشان داد. در این نمونه‌های رسی با افزایش غلظت آمونیوم و یا پتاسیم، بر میزان ثبیت افزوده شده است. در این اراضی نیز نتایج نشان می‌دهد که با افزایش کودهای آمونیومی، ظرفیت ثبیت پتاسیم خاک نه تنها کاهش می‌یابد، بلکه این فرآیند می‌تواند سبب آزادسازی پتاسیم از رس‌های خاک شده و بخشی از نیاز گیاهان زراعی به پتاسیم را تأمین نماید. چنین نتیجه‌ای برای مدیریت مصرف کودهای پتاسیمی بسیار حائز اهمیت است. پس در اراضی که مصرف

## مقایسه ثیت پتاسیم و آمونیوم توسط رس های جداسازی شده ...

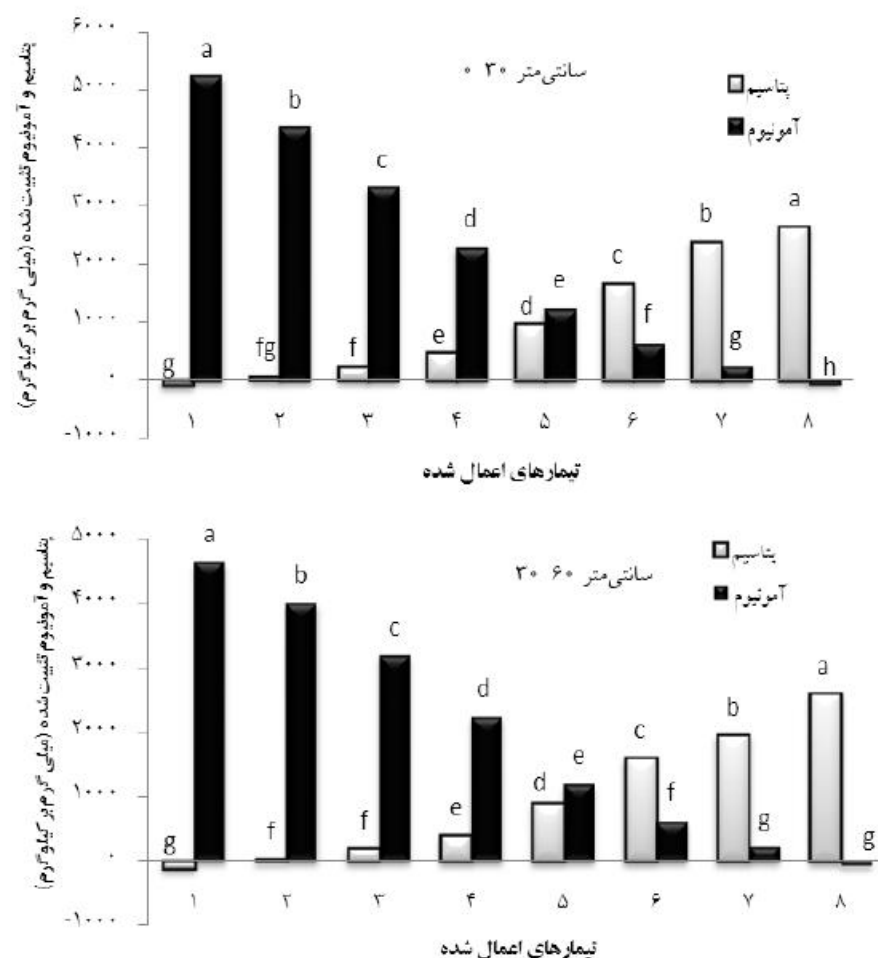


شکل ۲. میانگین پتاسیم و آمونیوم ثبیت شده در اعماق ۰-۶۰ و ۶۰-۱۲۰ سانتی‌متری کشت بایر شوستر

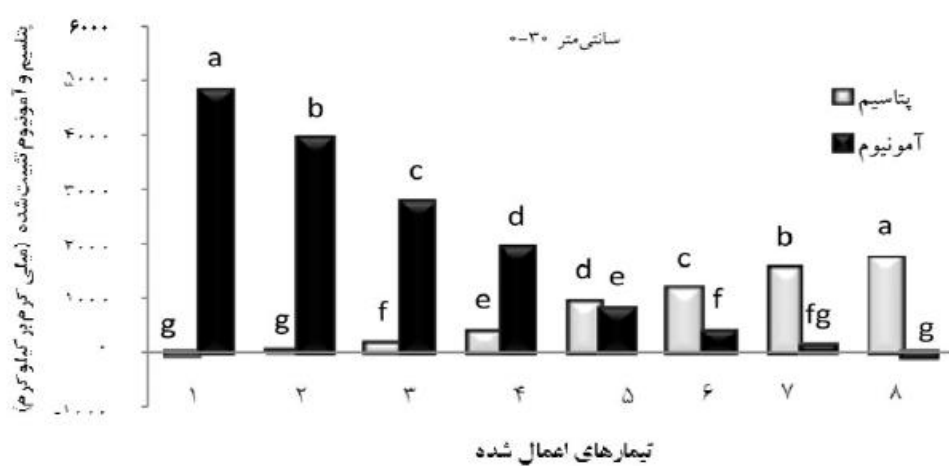
میانگین ثبیت آمونیوم در لایه سطحی اراضی بایر، نیشکر و تناوبی به ترتیب  $4750 \pm 4855$  و  $5082 \pm 5$  میلی گرم بر کیلوگرم بوده است که بیشترین میزان ثبیت در اراضی تحت کشت تناوبی و کمترین آن در اراضی بایر بوده است. در لایه‌های  $0-60$  سانتی‌متری نیز مقدار ثبیت در اراضی تحت کشت تناوبی  $30$  سانتی‌متری نیز مقدار ثبیت در اراضی تحت کشت نیشکر بیشتر بوده است. با این وجود در این بخش‌ها نیز تفاوت آماری معنی‌داری بین میزان آمونیوم ثبیت شده در هر تیمار در سیستم‌های مختلف مورد مطالعه در این منطقه بین نمونه‌های رس ملاحظه نمی‌شود. این امر می‌تواند به تشابه نسبتاً زیاد در ترکیب کانی‌های رسی این نمونه‌های خاک مرتبط باشد (جدول ۳). نتایج مقایسه میانگین ثبیت در رس‌های خاک آبادان نشان می‌دهد که مقدار ثبیت آمونیوم در اراضی تحت کشت نخلستان نیز با افزایش

ثبت پتاسیم در کشت نخلستان و اراضی بایر، با افزایش عمق کاهش یافته است (این کاهش ثبیت در نخلستان و اراضی بایر به ترتیب  $1/14$  و  $4/77$  درصد بوده است که تفاوت آماری معنی‌داری با توجه به نوع کشت در عمق نمونه طبق جدول ۴ نشان داده شده است). به عبارتی بیشترین ثبیت در عمق  $0-30$  سانتی‌متری رخ داده است این نتیجه می‌تواند مدرک معتبری بر صحت این مدعای باشد.

نتایج حاصل از مقایسه میانگین‌ها توسط رس‌های خاک شوستر نشان داد که میزان ثبیت آمونیوم با افزایش غلظت آمونیوم اضافه شده افزایش یافته است. مقدار آمونیوم ثبیت شده در لایه سطحی نمونه‌های تحت کشت تناوبی بیشتر از تحت کشت نیشکر و بایر بوده است (شکل‌های ۱، ۲ و ۳). چنین نتایجی توسط دورام و ایوانز (۱۲) نیز گزارش شده است.

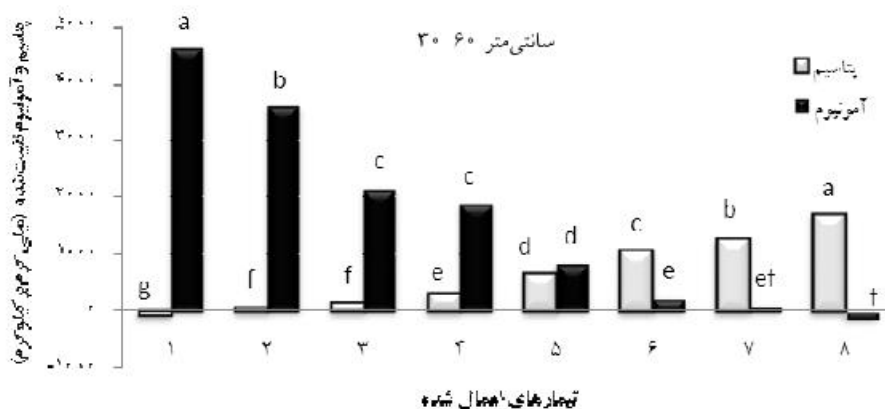


شکل ۴. میانگین پتاسیم و آمونیوم ثابت شده در اعماق ۰-۳۰ و ۳۰-۶۰ سانتی‌متری ناحیه آبادان



شکل ۵.

ادامه شکل ۵.



شکل ۵. میانگین پتاسیم و آمونیوم ثبیت شده در اعماق ۰-۲۰ و ۲۰-۶۰ سانتی‌متری بایر آبدان

### نتیجه‌گیری و پیشنهادات

نتایج این تحقیق نشان داد که افزایش غلظت پتاسیم و یا آمونیوم، سبب افزایش میزان ثبیت آن یون توسط کانی‌های رسی خاک می‌شود. این امر در خاک‌های با کشت‌های مختلف، روند نسبتاً مشابهی را نشان داد. با توجه به تشابه در ترکیب کانی‌های رسی این نمونه‌ها این نتایج قابل انتظار بود. میزان ثبیت این یون‌ها در افق‌های سطحی برای اراضی تحت کشت، ثبیت این یون‌ها در اراضی کشت نشده بود. این امر ممکن است به نسبتاً بیشتر از اراضی کشت نشده بود. این امر ممکن است به مصرف پتاسیم توسط گیاهان زراعی کشت شده و عدم مصرف کودهای پتاسیمی مربوط شود. چنین روندی هم در اراضی شمالی (شوشتر) و هم در اراضی جنوبی خوزستان (آبادان) ملاحظه شد. هم‌چنین نتایج این تحقیق نشان داد که با افزایش غلظت یک یون، ثبیت دیگری کاهش می‌یابد. این امر رقابت شدید بین آمونیوم و پتاسیم برای ثبیت را نشان می‌دهد. نظر به اینکه شعاع یونی این دو یون تقریباً مشابه می‌باشد، چنین نتیجه‌ای دور از انتظار نمی‌باشد با این وجود این نتیجه می‌تواند در مدیریت مصرف کودهای پتاسیم‌دار در این اراضی حائز اهمیت باشد. نتایج نشان داد که هم در اراضی شمالی و هم در اراضی جنوبی استان خوزستان با افزایش آمونیوم نه تنها از ثبیت پتاسیم کاسته شده است بلکه سبب رهاسازی آن نیز شده

غلظت آمونیوم نسبت به اراضی بایر افزایش یافته است (۶/۳۸ درصد). این افزایش در تیمار ۱ بیشترین و در تیمار ۸ کمترین بوده است (شکل‌های ۵ و ۴).

از آنجایی که پتاسیم و آمونیوم شعاع یونی مشابهی دارند به این دلیل رفتاری مشابهی از لحاظ ثبیت توسط کانی‌های رسی در خاک نشان می‌دهند. در رقابت برای ثبیت پتاسیم و آمونیوم توسط کانی‌های رسی هم‌ستگی معنی‌داری در سطح یک درصد ملاحظه شد (به صورت معکوس به میزان ۰/۸۷). با توجه به برهمکنش منفی که بین آمونیوم و پتاسیم ملاحظه می‌شود، افزایش غلظت هر یک از این یون‌ها، باعث افزایش ثبیت آن یون و آزادسازی دیگری می‌شود. این فرآیند سبب می‌شود که در اثر مصرف کودهای حاوی آمونیوم رس‌ها از ذخایر پتاسیمی خود آزاد نموده و نیاز گیاهان را تأمین نمایند. در تیمار ۱ با افزایش غلظت آمونیوم، ثبیت پتاسیم کاهش یافته که نشان دهنده اشباع مکان‌های ثبیت کننده توسط آمونیوم بوده است. افزایش غلظت پتاسیم در تیمار ۸ باعث آزادسازی آمونیوم از مکان‌های تبادلی و کاهش ثبیت آن گردد. این نتیجه می‌تواند در مدیریت مصرف کودهای پتاسیمی و آمونیومی در خاک‌های زراعی مثمر ثمر بوده و مورد استفاده قرار گیرد.

آزاد شده از کودهای آمونیوم دار، می‌تواند توسط رس‌ها ثبیت شده و سپس به مرور در اختیار گیاه قرار گیرد. پیشنهاد می‌شود که آزمایش مشابهی روی نمونه‌های خاک اصلی نیز انجام شده و نتایج با نتایج حاصل از این تحقیق مقایسه شده تا این نتایج با شرایط مزرعه‌ای نیز همگوئی بیشتری داشته باشد.

است. بنابراین مصرف کودهای آمونیومی مثل اوره که در اثر تجزیه سبب آزاد شدن آمونیوم در خاک می‌شوند، نه تنها سبب جلوگیری از ثبیت پتاسیم می‌شود بلکه می‌تواند سبب رهاسازی پتاسیم و دسترسی بیشتر آن برای گیاه زراعی گردد. از طرفی نتایج این تحقیق نشان می‌دهد که بخش زیادی از آمونیوم

### منابع مورد استفاده

۱. پیشگیر، م. ۱۳۹۰. مقایسه ثبیت پتاسیم و آمونیوم در اراضی با کاربری‌های مختلف. پایان نامه کارشناسی ارشد بخش خاکشناسی، دانشکده کشاورزی. دانشگاه کشاورزی و منابع طبیعی رامین، خوزستان.
۲. جعفری، س. ۱۳۸۴. مطالعه تحول مینرالوژیکی، ساختمانی، فیزیکوشیمیابی و ثبیت پتاسیم در خاک‌ها و کانی‌های رسی اراضی تحت کشت تناوبی، نیشکری و بایر خوزستان. پایان نامه دکترا بخش خاکشناسی، دانشکده کشاورزی. دانشگاه شیراز ۱۲۵ ص.
۳. جعفری، س. و م. یاقوتزاد. ۱۳۸۶. اثرات تر و خشک شدن و سیستم‌های کشت بر ثبیت پتاسیم در برخی از خاک‌ها و رس‌های خوزستان. مجله علوم و فنون کشاورزی و منابع طبیعی، دانشگاه صنعتی اصفهان ۴۱: ۷۵-۹۰.
۴. سرمهد، ز.، ع. بازرجان و ا. حجازی. ۱۳۷۸. روش‌های تحقیق در علوم رفتاری. انتشارات آگه، تهران، ۴۱۰ ص.
5. AL-Kanani, T., A. F. Mackenzi and G. J. Ross. 1984. Potassium status of some Quebec soils: K release by nitric acid and sodium tetraphenylboron as related to particle size and mineralogy. Canadian j. soil sci. 64: 99-106.
6. Bajwa, M. I. 2008. Comparative ammonium and potassium fixation by some wetland rice soil clay as affected by mineralogical composition and treatment sequence. J. Agronomy and Crop Sci. 158(1): 65-68.
7. Bremner, J. M. 1965. Total nitrogen. PP. 1179-123. In: Black, C. A (Eds.), Methods of Soil Analysis. Part 2. Chemical and Microbiological Properties. American Society of Agronomy. Inc, Madison.
8. Chapman, H. D. 1965. Cation exchanges capacity. PP. 891-901. In: Black, C. A (Eds.), Methods of Soil Analysis. Part 2. Chemical Analysis. American Society of Agronomy. Madison, Wisconsin.
9. Chorom, M., M. Baghernejad and S. Jafari. 2009. Influence of rotation cropping and sugarcane production on the clay mineral assemblage. Clay Sci. 46: 385-395.
10. Claridge, G. G. C. 1978. Sample preparation by particle size separation. Chapter DI. A in Soil Bureau laboratory methods. D. Methods for mineral and element analysis. NZ Soil Bureau Scientific Report 10D.
11. Day, P. R. 1965. Particle fractionation and particle-size analysis. PP. 545-566. In: Black, C. A (Eds.), Methods of Soil Analysis. Part 1. American Society of Agronomy, Madison, Wisconsin, USA.
12. Doram, D. R. and L. J. Evans. 1983. Native fixed ammonium and fixation of added ammonium in relation to clay mineralogy in some Ontario soils. Canadian J. soil sci. soc. 63: 631-639.
13. Durak, A., K. Kilic and H. Yildiz. 1996. The ammonium fixation in two great soil groups having different clay mineralogy during growth season. XXVI<sup>th</sup> Annual meeting of ESNA Romania. PP. 15-21.
14. Fanning, D. S., V. Z. Keramidas and M. A. El-Desoky. 1995. *Micas*. PP. 551-634. In: Dixon, J. B. and S. B. Weed (Eds.), Minerals in Soil Environments. Second edition, Soil Science Society of America. Madison, WI.
15. Gee, G. W. and J. W. Bauder. 1986. Particle-Size analysis. PP. 383-411. In: Klute, A. (Eds.), Methods of Soil Analysis. Part 7. Soil Science Society of American.
16. Glasscock, J., A. Shaviv and J. Hagin. 1995. Nitrification inhibitors interaction with applied ammonium concentration. J. Plant Nutr. 18(1): 105-116.
17. Havlin, J. L., J. D. Beaton., S. L. Tisdale and W. L. Nelson. 1991. Soil fertility and fertilizers in introduction to nutrient management. Prentice-Hall. PP. 196-216.
18. Jackson, M. L. 1979. Soil mineralogy. PP. 475-482. In: Fairbridge, R. W. and J. R. Finkl, (Eds.), The Encyclopedia of Soil Science. Part 1. Stroudsburg.
19. Kilic, K., M. R. Derici and K. Saltali. 1999. The Ammonium fixation in great soil groups of tokat region and some factors affecting the fixation. J. Agri. and Forestry 23: 673-678.
20. Kittrick, J. A. and E. W. Hope. 1963. A procedure for the particle-size separation of soils for X-ray diffraction analysis. Soil Sci. 96: 312-325.

---

مقایسه ثبیت پتاسیم و آمونیوم توسط روش‌های جداسازی شده ...

---

21. Martin, W. H. and D. L. Sparks. 1985. The Behavior of Non-exchangeable Potassium in Soils. In: Bartels, J. M. (Eds.), Methods of Soil Analysis. Part 3. Madison, Wisconsin.
22. Mehra, O. P. and M. L. Jackson. 1960. Iron oxide removal from soils and clays by a dithionite citrate system buffered with sodium bicarbonate. *Clays and Clay Mineral* 7: 317-32.
23. Mengel, K. and E. A. Kirkby. 2001. Potassium in crop production. *Advances in Agronomy* 33: 59-110.
24. Mulvaney, R. L. 1996. Methods of soil analysis. Soil Science Society of America and American Society of Agronomy. PP.1121-1176.
25. Nelson, R. E. 1982. Carbonate and gypsum. PP. 181-199. In: Page, A. L (Eds.), Methods of Soil Analysis. Part 2. American Society of Agronomy. Madison, Wisconsin.
26. Oustan, S. H., M. Asghari., M. R. Neyshabouri and A. Bybordi. 2008. Potassium fixation as affected by moisture condition in some soils of Azerbaijan. International Meeting on Soil Fertility Land Management and Agroclimatology. Turkey. PP. 619-625.
27. Page, A. L., W. D. Burge., T. J. Ganje and M. J. Garber. 1967. Potassium and Ammonium fixation by Vermiculitic Soils. University of California Citrus Res. PP. 337-341.
28. Prasad, R. and J. Power. 1997. Soil fertility management for sustainable agriculture. Boca New York. PP. 219-223.
29. Tisdale, S. L., W. L. Nelson, J. D. Beaton and J. L. Havlin. 2003. Soil Fertility and Fertilizers. Prentice-Hall of India. PP. 231-243.
30. Tofighi, H. and S. Abasiyan. 2009. Kinetics of competitive fixation of potassium and ammonium ions by some soils and their clay and silt components. XIV International Clay Conference. Castellaneta Marina Italy. 579. p.
31. United State Salinity Laboratory Staff. 1954. Diagnosis and improvement of saline and alkali soils. USDA Handbook. 60. Washington, DC.
32. Walkely, A. 1947. A Critical examination of a rapid method for determining soil organic carbon in soils. Effect of variations in digestion conditions and inorganic soil constituents. *Soil Sci.* 63: 251-263.
33. Wen, Q. X., L. L. Cheng and B. Y. Cheng. 2000. Fixed ammonium in soils of China. *Acta Pedologica Silica Chine.* 37: 145-155.